

République Algérienne Démocratique et Populaire
Ministère de l'Enseignement Supérieur et de la Recherche Scientifique

UNIVERSITÉ MOHAMED KHIDER, BISKRA

FACULTÉ des SCIENCES EXACTES et des SCIENCES de la NATURE et de la VIE

DÉPARTEMENT DE MATHÉMATIQUES



Mémoire présenté en vue de l'obtention du Diplôme :

MASTER en Mathématiques

Option : **Analyse**

Par

Lekbiche Karima

Titre :

**La méthode de gradient conjugué en
optimisation et ses application**

Membres du Comité d'Examen :

Dr. KABOUL Hanane	UMKB	Président
Dr. BELLAGOUN A.Ghani	UMKB	Encadreur
Dr. BENABA Fadhila	UMKB	Examineur

Juin 2018

DÉDICACE

j'ai l'honneur de dédier ce travail à :

Mon cher père, qui a consacré sa vie pour mon éducation.

Ma chère maman pour toute sa tendresse, amour, et affection.

Mes chers soeurs : Dalila, Djamila et Wahiba.

Mes chère frères : Nadir, Oussama et Hamza.

Toutes mes amies.

Tous mes formateurs pour leur effort et leur amabilité et tous qui m'ont aidé de près ou de loin pour la réalisation de ce travail.

REMERCIEMENTS

Tout d'abord, je remercie DIEU le tout-puissant pour la volonté, la santé et la patience
qu'il m'a donnée durant ma vie.

je tiens à remercier particulièrement Mr BELLAGOUN A. Ghani pour l'aide et les conseils
concernant ce travail.

je remercie également Ms KABOUL Hanane et Ms BENABA Fadhila.

je remercie également les membres de nos familles qui nous ont offert soutien moral et
financier .

A tous ceux qui nous ont guidés avec gentillesse et efficacité.

Table des matières

Remerciements	ii
Table des matières	iii
Liste des figures	v
Liste des figures	vi
Introduction	1
1 Introduction	2
1.1 La Méthode de Gradient (descent).	4
1.2 Les méthodes de gradient conjugué	12
1.2.1 Le cas quadratique	12
1.2.2 Cas d'une fonction f quelconque	24
2 La convergence	26
2.1 La convergence de la méthode du gradient	26
2.1.1 la convergence de la méthode de gradient conjugué	34
2.1.2 Préconditionneurs pratique	40
3 Application	41
3.1 Le problème de controle optimale	41

3.2	l'algorithme de gradient conjugué	43
3.3	Traitement de contraintes	44
3.4	Résumé de l'algorithme	45
3.5	Exemples	46
3.6	Application du gradient conjugué a la résolution d'un système linéaire : $Ax = b$	48
3.7	Application du gradient conjugué au traitement d'image	50
	Conclusion	52
	Bibliographie	53
	Annexe A : Logiciel <i>R</i>	54

Liste des tableaux

3.1	Tableau 1	47
3.2	Tableau 2	47
3.3	Tableau 3	48

Table des figures

1.1	construction d'un ensemble de niveau correspondant au niveau α pour f	3
1.2	l'ordre topologique resultant de la méthode de descent	4
1.3	graphe de $\Phi_0(\alpha)$	10
1.4	graphe de $\Phi_1(\alpha)$	11
1.5	graphe de $\Phi_2(\alpha)$	11

Introduction

Le but de ce travail est de montrer certains résultats concernant la théorie de l'optimisation continue sans contraintes et la notion de convergence, les méthodes et les algorithmes associés sont d'une importance capitale pour les applications, l'optimisation contrainte est basée essentiellement sur la notion du gradient et du gradient conjugué, la plupart des travaux consacrés à la minimisation des critères utilisent le gradient mais avec des variantes. Historiquement les méthodes du gradient conjugué sont apparues dès les années 40, où le début des calculateurs analogiques ont encouragé le développement de ces méthodes numériques.

Pour les applications la méthode du gradient conjugué est utilisée particulièrement dans le traitement des signaux et la restauration d'images donc dans les secteurs de l'imagerie médicale et autres secteurs industriels.

Le travail est divisé en 3 chapitres

- Le premier chapitre est consacré aux généralités et autres définitions concernant la méthode du gradient, nous essayons de donner la relation entre l'optimisation et la méthode de gradient, les résultats sont classiques et peuvent être consultés dans la bibliographie.
- Le deuxième chapitre est basé essentiellement sur la notion de convergence dans les méthodes des gradients et de la vitesse de convergence qui joue un grand rôle pour optimiser les résultats.
- Le troisième chapitre traite quelques applications de la méthode du gradient conjugué avec des résultats numériques.

Chapitre 1

Introduction

Dans ce chapitre, nous considérons la classe des fonctions à valeurs réelles ou les méthodes du gradient sont utilisées pour optimiser les fonctions données. Dans notre discussion, nous employons des termes comme les courbes de niveau, vecteurs normaux et vecteurs tangentes.

On rappelle qu'un ensemble de niveau d'une fonction $f : \mathbb{R}^n \rightarrow \mathbb{R}$ est l'ensemble de points x satisfaisant $f(x) = c$ pour un certain c constant. Ainsi, un point $x_0 \in \mathbb{R}^n$ est sur l'ensemble de niveau correspondant au niveau c si $f(x_0) = c$. Le gradient de f en x_0 noté $\nabla f(x_0)$.

La direction du taux d'accroissement maximum d'une fonction différentiable à valeurs réelles à un point est orthogonale à l'ensemble de niveau de la fonction en ce point. En d'autres termes, le gradient agit dans une telle direction qui pour un petit déplacement donné, la fonction f augmentera plus dans la direction du gradient que dans toute autre direction. Pour prouver ce rapport, se rappeler que $\langle \nabla f(x), d \rangle$, $\|d\| = 1$, est le taux d'accroissement de f dans la direction d au point x . Par l'inégalité de Cauchy-Schwarz.

$$\langle \nabla f(x), d \rangle \leq \|\nabla f(x)\|$$

parce que $\|d\| = 1$. Mais si $d = \frac{\nabla f(x)}{\|\nabla f(x)\|}$ alors

$$\left\langle \nabla f(x), \frac{\nabla f(x)}{\|\nabla f(x)\|} \right\rangle = \|\nabla f(x)\|$$

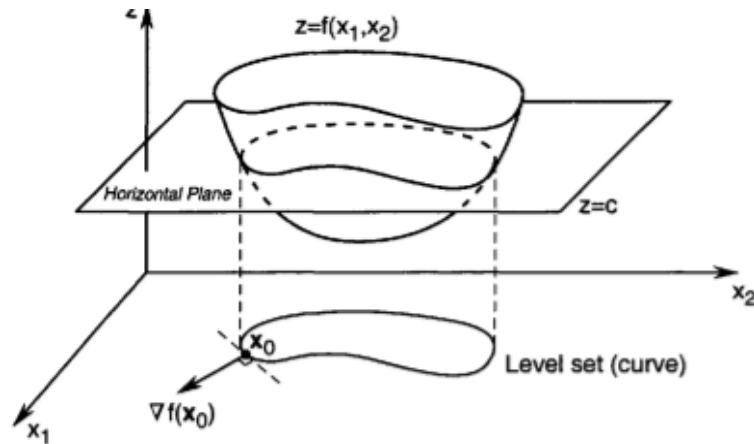


FIG. 1.1 – construction d'un ensemble de niveau correspondant au niveau α pour f

Ainsi, la direction dans laquelle $\nabla f(x)$ se dirige est la direction du taux maximum de d'augmentation de f en x .

La direction dans laquelle $-\nabla f(x)$ se dirige est la direction de le taux maximum de diminution de f en x . par conséquent, la direction du gradient négatif est une bonne direction à rechercher si nous voulons trouver un minimiseur de fonction.

Nous opérons comme suit. Soit x_k un point de départ, et considérons le point $x_0 - \alpha \nabla f(x)$. Puis, par le théorème de Taylor nous obtenons

$$f(x_0 - \alpha \nabla f(x)) = f(x_0) - \alpha \|\nabla f(x)\|^2 + o(\alpha)$$

Ainsi, si $\nabla f(x_0) \neq 0$, puis pour $\alpha > 0$, suffisamment petit nous avons

$$f(x_0 - \alpha \nabla f(x_0)) < f(x_0)$$

Ceci signifie que le point $x_0 - \alpha \nabla f(x_0)$ est une amélioration au-dessus du point x_0 si nous recherchons un minimiseur.

Pour formuler un algorithme qui met en application l'idée ci-dessus, supposons que nous partons d'un point x_k . pour trouver le point x_{k+1} , nous commençons par x_k

et on se déplaçons avec la quantité $-\alpha_k \nabla f(x_k)$, où α_k est une grandeur scalaire positive

appelée le pas à l'étape k . Le procédé ci-dessus mène à l'algorithme itératif suivant :

$$x_{k+1} = x_k - \alpha_k \nabla f(x_k)$$

Ainsi la méthode est connue sous le nom l'algorithme de gradient de descente (ou tout simplement l'algorithme de gradient).

Le gradient varie en fonctions des itérations et tendant en norme vers zéro quant nous nous rapprochons du minimum. Nous avons l'option ou de prendre des mesures très petites et de réévaluer le gradient à chaque étape.

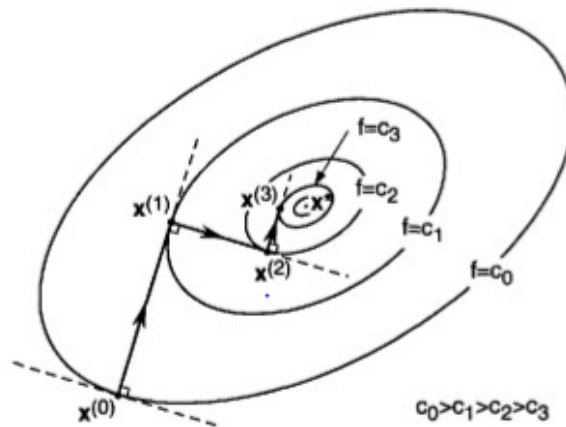


FIG. 1.2 – l'ordre topique résultant de la méthode de descent

La plus populaire est la méthode de la descente, que nous allons discuter après.

Les méthodes de gradient sont simples à mettre en application . Pour cette raison, elles sont employées couramment dans des applications pratiques. On peut trouver des applications de la méthode de la descente au calcul des contrôls optimaux.

1.1 La Méthode de Gradient (descent).

La méthode de la descente est un algorithme de gradient de taille α_k d'étape k est choisi pour réaliser le taux de décroissance de la fonction objective à chaque étape. spécifique-

ment, α_k est choisi de tel façon pour réduire au minimum l'expression :

$$\Phi_k(\alpha) \triangleq f(x_k - \alpha \nabla f(x_k))$$

En d'autres termes $\alpha_k = \arg \min_{\alpha \geq 0} f(x_k - \alpha \nabla f(x_k))$, Pour récapituler, l'algorithme de la descente de la plus grande pente procède comme suit : à chaque étape, à partir de point x_k nous déterminons une ligne de recherche dans la direction $-\nabla f(x_k)$ jusqu'à un minimiseur, x_{k+1} , est trouvé.

Un ordre typique résultant de la méthode de la descente (FIG 1.2)

Nous observons que la méthode de la descente se déplace orthogonalement d'une étape à l'autre , comme indiqué dans la proposition suivante :

Si $\{x_{(k)}\}_{k=0}^{\infty}$ est une suite décroissante in

duite par la descente pour une fonction donnée

$f : \mathbb{R}^n \rightarrow \mathbb{R}^n$ puis pour chaque k le vecteur x_{k+1} est orthogonal au vecteur $x_{k+2} - x_{k+1}$

De la formule itérative de la méthode de la descente on a :

$$\langle x_{k+1} - x_k, x_{k+2} - x_{k+1} \rangle = \alpha_k \alpha_{k+1} \langle \nabla f(x_k), \nabla f(x_{k+1}) \rangle$$

Montrons que :

$$\langle \nabla f(x_k), \nabla f(x_{k+1}) \rangle = 0$$

à cet effet, observons que α_k est une grandeur scalaire non négative qui réduit au minimum

$$\Phi_k(\alpha) \triangleq f(x_k - \alpha \nabla f(x_k))$$

d'ou

$$\begin{aligned}0 &= \Phi'_k(\alpha_k) \\ &= \frac{d\Phi_k}{d\alpha}(\alpha_k) \\ &= \nabla f(x_k - \alpha_k \nabla f(x_k))^\top (-\nabla f(x_k)) \\ &= -\langle \nabla f(x_{k+1}), \nabla f(x_k) \rangle\end{aligned}$$

et la preuve est accomplie.

Notons qu' à chaque étape de l'algorithme de la descente , la valeur correspondante de la fonction f diminue en valeur par rapport à l'étape précédente, comme indiqué ci-dessous.

Proposition 1.1.1

si $\{x_k\}_{k=0}^\infty$ est une suite induite par la méthode de la descente pour une fonction $f : R^n \rightarrow R$ et si $\nabla f(x_k) \neq 0$, alors :

$$\nabla f(x_{k+1}) < \nabla f(x_k).$$

Preuve. Nous avons

$$x_{k+1} = x_k - \alpha \nabla f(x_k)$$

de là où $\alpha_k > 0$ est le minimiseur de

$$\Phi_k(\alpha) = f(x_k - \alpha \nabla f(x_k))$$

pour tout $\alpha \geq 0$

$$\Phi_k(\alpha_k) \leq \Phi(\alpha)$$

Par la dérivée des fonctions composées :

$$\Phi'_k(0) = \frac{\partial \Phi_k}{\partial \alpha}(0) = -\nabla f(x_k - 0 \cdot \nabla f(x_k))^\top (\nabla f(x_k)) = -\|\nabla f(x_k)\|^2 < 0$$

parce que

$$\nabla f(x_k) \neq 0$$

Ainsi

$$\Phi'_k(0) < 0$$

et ceci implique qu'il existe $\tilde{\alpha} > 0$ tels que $\Phi_k(0) > \Phi_k(\alpha)$ pour le tout un $\alpha \in (0, \tilde{\alpha}]$. Par conséquent,

$$f(x_{k+1}) = \Phi_k(\alpha_k) \leq \Phi_k(\alpha) < \Phi_k(0) = f(x_k)$$

et la preuve du rapport est accomplie.

Dans ce qui précède, nous avons montré que l'algorithme possède la propriété de descente :

$$f(x_{k+1}) < f(x_k)$$

si $\nabla f(x_k) \neq 0$, pour certains k , nous avons $\nabla f(x_p) = 0$, $p > k$ puis

le point x_k ; satisfait le l'hypothèse de minimisation. dans ce Cas $x_{k+1} = x_k$.

Nous pouvons la prendre comme base pour un critère (d'arrêt) pour l'algorithme.

La condition $\nabla f(x_{k+1}) = 0$, cependant, n'est pas directement appropriée en tant que pratique, parce que le calcul numérique du gradient est rarement identiquement égal à zéro.

En pratique l'arrê d'un critère est de vérifier si la norme $\|\nabla f(x_k)\| = 0$ du gradient est plus petit qu'un seuil spécifié.

Alternativement, nous pouvons calculer la différence absolue $|f(x_{k+1}) - f(x_k)|$

entre les valeurs de la fonction objective pour chaque deux itérations successives, et si

la différence est inférieure à un certain seuil spécifié, nous nous arrêtons ; c'est-à-dire, quand

$$|f(x_{k+1}) - f(x_k)| < \varepsilon$$

Là où $\varepsilon > 0$ est un seuil préspecifié. Encore une autre alternative est de calculer la Norme $\|x_{k+1} - x_k\|$ de la différence entre deux solutions successives , et nous nous arrêtons si la norme $\|x_{k+1} - x_k\|$ est plus petit que ε .

Alternativement, nous pouvons vérifier des valeurs « relatives » des quantités ci-dessus ; par exemple

$$\frac{|f(x_{k+1}) - f(x_k)|}{|f(x_k)|} < \varepsilon$$

ou

$$\frac{\|x_{k+1} - x_k\|}{\|x_k\|} < \varepsilon$$

Les deux expressions ci-dessus sont aussi des critères d'arrêt relatifs mesurées indépendamment. Par exemple, la mesure de la fonction objective ne change pas le critère d'arrêt :

$$\frac{|f(x^{(k+1)}) - f(x^{(k)})|}{|f(x^{(k)})|} < \varepsilon$$

De même, le mesure de la variable de décision ne change pas critère d'arrêt

Pour éviter la division par des nombres très petits, nous pouvons modifier ces critères d'arrêt comme suit :

$$\frac{|f(x_{k+1}) - f(x_k)|}{\max(1, |f(x_k)|)} < \varepsilon$$

ou

$$\frac{\|x_{k+1} - x_k\|}{\|x_k\|} < \varepsilon$$

Notons que les critères d'arrêt ci-dessus sont appropriés à tous les algorithmes itératifs.

$$f(x_1, x_2, x_3) = (x_1 - 4)^4 + (x_2 - 3)^2 + 4(x_3 + 5)^4$$

de point initial $x_0 = [4, 2, -1]^\top$

nous trouvons

$$\nabla f(x) = [4(x_1 - 4)^3, 2(x_2 - 3), 16(x_3 + 5)^3]^\top$$

Par conséquent

$$\nabla f(x_0) = [0, -2, 1024]$$

pour calculer x_1 il faut de trouver α_0 , d'abord

$$\begin{aligned} \alpha_0 &= \arg \min_{\alpha \geq 0} f(x_0 - \alpha \nabla f(x_0)) \\ &= \arg \min_{\alpha \geq 0} (0 - (2 + 2\alpha - 3))^2 + 4(-1 - 1024\alpha + 5) \\ &= \arg \min_{\alpha \geq 0} \Phi_0(\alpha) \end{aligned}$$

on utilise la méthode de secant on trouve

$$\alpha_0 = 3.967 \times 10^{-3}$$

Pour le but d'illustration, nous montrons une parcelle de terrain de $\Phi_0(\alpha)$ contre α sur le schéma 1.3, obtenu utilison MATLAB. Ainsi,

$$x_1 = x_0 - \alpha_0 \nabla f(x_0) = [0.000, 1.003, -1.3875]$$

et

Nous procédons comme dans les itérations précédentes pour obtenir $\alpha_1 = 0.500$

$\alpha_2 = 16.29$. Voir schéma 1.4 ,1.5

avec

La valeur de x_2 est

$$x_2 = [4.00, 3.000, -5, 060]$$

La valeur de x_3 est

$$x_3 = [4.000, 3.00, -5.002]$$

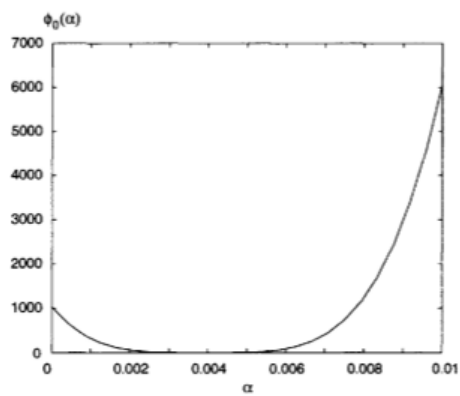


FIG. 1.3 – graphe de $\Phi_0(\alpha)$

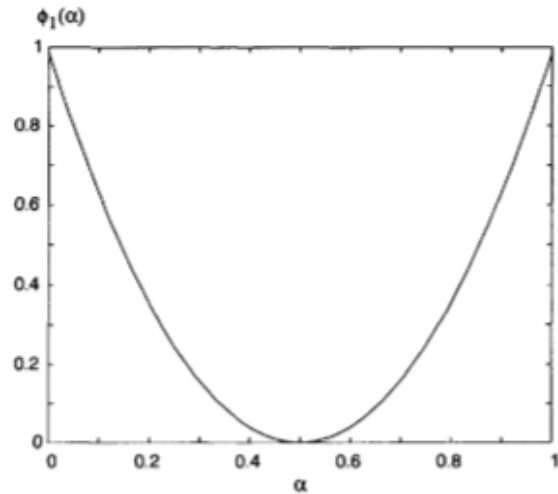


FIG. 1.4 – graphe de $\Phi_1(\alpha)$

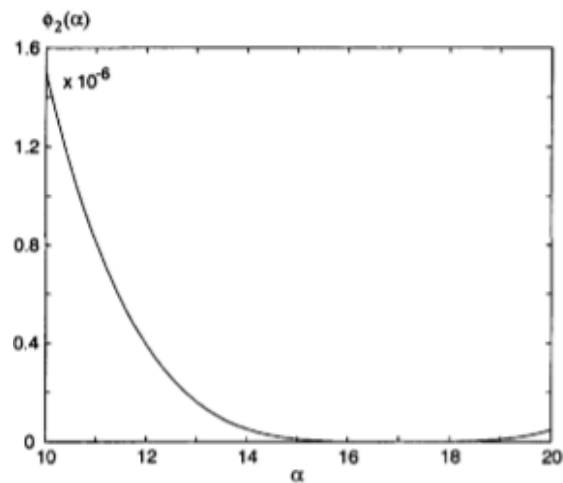


FIG. 1.5 – graphe de $\Phi_2(\alpha)$

Noter que le minimiseur de f est $[4, 3, -5]^\top$, et par conséquent il s'avère que nous sommes arrivés au minimum dans seulement trois itérations.

Les calculs numériques concernant cet exemple, sont exécutés en utilisant le logiciel Matlab. Les calculs ci-dessus ont été écrits explicitement, étape-par-étape.

1.2 Les méthodes de gradient conjugué

Notation 1.2.1 :

1. Si $u_1, u_2, \dots, u_p \in \mathbb{R}^n$ On note $\mathcal{L}(u_1, u_2, \dots, u_p) = \left\{ \sum_{i=0}^p \alpha_i u_i, \alpha_1 \dots \alpha_p \in \mathbb{R} \right\}$ l'espace vectoriel engendré par les vecteurs u_1, u_2, \dots, u_p , C'est un sous espace vectoriel de \mathbb{R}^n .
2. Si $a \in \mathbb{R}^n$ et $M \subset \mathbb{R}^n$ alors $a + M$ désigne l'ensemble $\{a + x, x \in M\}$.

Théorème 1.2.1 Soit $\Omega \subset \mathbb{R}^n$ un ouvert, $U \subset \Omega$ un ensemble convexe et $f : \Omega \rightarrow \mathbb{R}$ une fonction de classe C^1 , soit $v^* \in U$ un minimum relatif de f sur U .

alors :

$$\langle \nabla f(u^*), u - u^* \rangle \geq 0 \quad \forall u \in U$$

1.2.1 Le cas quadratique

Dans ce paragraphe on considère $f : \mathbb{R}^n \rightarrow \mathbb{R}$ une fonction quadratique

$$f(u) = \frac{1}{2} \langle Au, u \rangle - \langle b, u \rangle + c \quad \forall u \in \mathbb{R}^n$$

avec $A \in M_n(\mathbb{R})$, $b \in \mathbb{R}^n$, $c \in \mathbb{R}$. On suppose que la matrice A est symétrique définie et positive.

Idée de la méthode : Rappelons que la méthode de gradient à pas optimal consiste à écrire :

$$\begin{aligned} u^{(k+1)} &= u^{(k)} - \rho_k \nabla f(u^{(k)}) \\ &= \min_{\rho \in \mathbb{R}} f(u^{(k)} - \rho \nabla f(u^{(k)})) \end{aligned}$$

Ceci est équivalent à :

$$u^{(k+1)} \in u^{(k)} + \mathcal{L}(\nabla f(u^{(k)}))$$

est l'élément qui minimise f sur $u^{(k)} + \mathcal{L}(\nabla f(u^{(k)}))$

Dans la suite on va procéder de la manière suivante :

On va noter pour tout $k \in \mathbb{N}$

$$G_k = \mathcal{L}(\nabla f(u^{(0)}), \nabla f(u^{(1)}), \dots, \nabla f(u^{(k)})) \subset \mathbb{R}^n$$

La méthode du gradient conjugué consiste à chercher

$$f(u^{(k+1)}) = \min_{v \in u^{(k)} + G_k} f(v) \quad (1.1)$$

(en supposant qu'un tel minimum existe).

On minimise donc sur un espace plus "grand" que dans la méthode de gradient à pas optimal, On s'attend alors à un "meilleur" minimum, Il reste à montrer que cette méthode est facile à implémenter et qu'elle donne le résultat attendu.

Comme f est elliptique et que $u^{(k)} + G_k$ est un ensemble fermé et convexe (car c'est un espace affine), alors il existe une solution unique du problème de minimisation 1.1.

En plus, le Théorème 1.2.1 nous donne

$$\langle \nabla f(u^{(k+1)}), v - u^{(k+1)} \rangle \geq 0 \forall v \in u^{(k)} + G_k \quad (1.2)$$

soit maintenant $w \in G_k$ arbitraire remarquons qu'on a :

$$u^{(k+1)} + w = u^{(k)} + [u^{(k+1)} - u^{(k)}] + w \in u^{(k)} + G_k \text{ car } u^{(k+1)} - u^{(k)} \in G_k.$$

On peut alors prendre $v = u^{(k+1)} + w$ en 1.2 et aussi $v = u^{(k+1)} - w$ on obtient

$$\langle \nabla f(u^{(k+1)}), w \rangle = 0 \quad \forall w \in G_k$$

(c'est à dire : $\nabla f(u^{(k+1)})$ est **orthogonal** sur tous les vecteurs de G_k). Ceci nous donne

$$\langle \nabla f(u^{(k+1)}), \nabla f(u^{(l)}) \rangle = 0 \quad \forall l = 0, 1, \dots, k \quad (1.3)$$

(dans l'algorithme de gradient à pas optimale on avait $\langle \nabla f(u^{(k+1)}), \nabla f(u^{(l)}) \rangle = 0$).

conséquences :

- Si les vecteurs $\nabla f(u^{(0)}), \nabla f(u^{(1)}), \dots, \nabla f(u^{(k)})$ sont tous $\neq 0$ alors ils sont linéairement indépendants (c'est une conséquence immédiate du résultat bien connu : si des vecteurs non nuls sont orthogonaux par rapport à un produit scalaire, alors ils sont indépendants)
- L'algorithme s'arrête en au plus n itérations, car il existe $k \in \{0, 1, \dots, n\}$ tel que

$$\nabla f(u^{(k)}) = 0$$

(sinon on aurait $n + 1$ vecteurs non-nuls indépendants en \mathbb{R}^n ce qui est impossible)

Alors $u^{(k)}$ est la solution recherchée.

La question qui se pose maintenant est : **comment calculer $u^{(k+1)}$ à partir de $u^{(k)}$?**

Supposons qu'on a

$$\nabla f(u^{(i)}) \neq 0, \forall i = 0, 1, \dots, k$$

(sinon, l'algorithme s'arrêterait avant d'avoir à calculer $u^{(k+1)}$)

Nous avons l'expression suivante :

$$u^{(l+1)} = u^{(l)} + \Delta_l \quad \forall l = 0, 1, \dots, k \quad (1.4)$$

avec $\Delta_l \in G_l$ que nous écrivons sous la forme :

$$\Delta_l = \sum_{i=0}^l \alpha_i^l \nabla f(u^{(i)}) \quad (1.5)$$

avec $\alpha_i^l \in \mathbb{R}$ des coefficients à trouver. Rappelons que

$$\nabla f(x) = Ax - b \quad \forall x \in \mathbb{R}^n$$

On utilisera souvent la formule suivante :

$$\nabla f(u^{(l+1)}) = \nabla f(u^{(l)}) + A\Delta_l \tag{1.6}$$

$$(\text{ car } \nabla f(u^{(l+1)}) = Au^{(l+1)} - b = A(u^{(l)} + \Delta_l) - b = Au^{(l)} - b + A\Delta_l)$$

Proposition 1.2.1 *On a*

1.

$$\Delta_l \neq 0 \quad \forall l = 0, 1, \dots, k$$

2.

$$\langle A\Delta_l, \Delta_m \rangle = 0 \quad \forall 0 \leq m < l \leq k$$

Preuve. En faisant le produit scalaire de l'égalité 1.6 par $\nabla f(u^{(l)})$ on obtient ■

$$\|\nabla f(u^{(l)})\|^2 + \langle A\Delta_l, \nabla f(u^{(l)}) \rangle = 0$$

Comme $\|\nabla f(u^{(l)})\|^2 \neq 0$ on déduit $\langle A\Delta_l, \nabla f(u^{(l)}) \rangle \neq 0$ danc $\Delta_l \neq 0$,ce qui finit la partie

1.

Pour montrer la partie 2. nous faisons le produit scalaire de $\nabla f(u^{(i)}), i < l$ avec 1.6 .

on obtient

$$\langle A\Delta_l, \nabla f(u^{(i)}) \rangle \quad \forall i = 0, 1, \dots, l-1 \quad \forall i = 0, 1, \dots, m$$

En multipliant par α_i^l et en sommant pour i de 0 à m on obtient l'égalité de la partie 2.

Ceci nous amène à donner la définition suivante :

Définition 1.2.1 *On dit que deux vecteurs x et $y \in \mathbb{R}^n$ sont **conjugués** par rapport à une matrice $B \in M_n(\mathbb{R})$ si*

$$\langle Bx, y \rangle = 0$$

Remarque 1.2.1 : Si B est une matrice symétrique définie et positive alors l'application

$$(x, y) \in \mathbb{R}^n \times \mathbb{R}^n \rightarrow \langle Bx, y \rangle \in \mathbb{R}^n$$

est un produit scalaire en \mathbb{R}^n (résultat admis!) qu'on appelle produit scalaire associé à la matrice B . (à noter que le produit scalaire habituel est un fait un produit scalaire associé à la matrice identité I_n) Alors la définition précédente nous dit que, dans le cas où B est symétrique définie et positive, deux vecteurs sont conjugués par rapport à la matrice B s'ils sont orthogonaux par rapport au produit scalaire associé à B .

Comme les vecteurs $\Delta_0, \Delta_1, \dots, \Delta_k$ sont non-nuls et orthogonaux par rapport au produit scalaire associé à la matrice A .

Proposition 1.2.2 : les vecteurs $\Delta_0, \Delta_1, \dots, \Delta_k$ sont indépendants. Il est facile de voir qu'on a

$$\mathcal{L}(\Delta_0, \Delta_1, \dots, \Delta_l) = \mathcal{L}(\nabla f(u^{(0)}), \nabla f(u^{(1)}), \dots, \nabla f(u^{(l)})), \forall l = 0, 1, \dots, k$$

(car l'inclusion " \subset " est évidente de 1.5 et en plus les deux espaces ont la même dimension : $l + 1$)

On déduit alors :

$$\alpha_l^l \neq 0, \forall l = 0, 1, \dots, k \tag{1.7}$$

(car sinon, on aurait $\Delta_l = \mathcal{L}(\nabla f(u^{(0)}), \nabla f(u^{(1)}), \dots, \nabla f(u^{(l)})) = \mathcal{L}(\Delta_0, \Delta_1, \dots, \Delta_l)$, ce qui contredirait l'indépendance des $\Delta_0, \dots, \Delta_l$)

On peut alors écrire :

$$\Delta_k = \rho_k d^{(k)}$$

avec

$$d^{(k)} = \nabla f(u^{(k)}) + \sum_{i=0}^{k-1} \lambda_i^k \nabla f(u^{(i)}) \quad (1.8)$$

où on a posé

$$\begin{cases} \rho_k = \alpha_k^k \\ \lambda_i = \frac{\alpha_i^k}{\alpha_k^k} \end{cases} \quad (1.9)$$

(remarquons que dans 1.8 la somme n'existe pas si $k = 0$)

Nous avons donc :

$$u^{(k+1)} = u^k + \rho_k d_k$$

avec d_k donné par 1.8 et 1.9.

Il nous reste à calculer les ρ_k et d_k .

comme $\langle A\Delta_k, \Delta_l \rangle = 0$ pour $l < k$, on déduit que $\langle Ad_k, \Delta_l \rangle = 0$ ce qui nous donne en utilisant aussi 1.6 :

$$0 = \langle d_k, A\Delta_l \rangle = \langle d_k, \nabla f(u^{(l+1)}) - \nabla f(u^{(l)}) \rangle \text{ pour } 0 \leq l \leq k-1.$$

A l'aide de 1.8 cela nous donne

$$\left\langle \nabla f(u^{(k)}) + \sum_{j=0}^{k-1} \lambda_j^k \nabla f(u^{(j)}), \nabla f(u^{(l+1)}) - \nabla f(u^{(l)}) \right\rangle = 0 \text{ pour } 0 \leq l \leq k-1 \quad (1.10)$$

En prenant $l = k-1$ dans cette égalité on trouve

$$\|\nabla f(u^{(k)})\|^2 - \lambda_{k-1}^k \|\nabla f(u^{(k-1)})\|^2 = 0$$

alors

$$\lambda_{k-1}^k = \frac{\|\nabla f(u^{(k)})\|^2}{\|\nabla f(u^{(k-1)})\|^2} \quad (1.11)$$

En prenant $l \leq k - 2$ en 1.11, on trouve la relation de recurrence

$$\lambda_{l+1}^k \|\nabla f(u^{(l+1)})\|^2 - \lambda_l^k \|\nabla f(u^{(l)})\|^2 = 0$$

ce qui donne

$$\lambda_l^k = \lambda_{l+1}^k \frac{\|\nabla f(u^{(l+1)})\|^2}{\|\nabla f(u^{(l)})\|^2}$$

On en déduit facilement, en utilisant aussi 1.11

$$\lambda_i^k = \frac{\|\nabla f(u^{(k)})\|^2}{\|\nabla f(u^{(i)})\|^2}, \quad i = 0, 1, \dots, k-1$$

On obtient alors, à l'aide de 1.8 :

$$\begin{aligned} d_k &= \nabla f(u^{(k)}) + \sum_{i=0}^{k-1} \frac{\|\nabla f(u^{(k)})\|^2}{\|\nabla f(u^{(k)})\|^2} \nabla f(u^{(i)}) \\ &= \nabla f(u^{(k)}) \frac{\|\nabla f(u^{(k)})\|^2}{\|\nabla f(u^{(k-1)})\|^2} \left[\nabla f(u^{(k-1)}) \sum_{i=0}^{k-2} \frac{\nabla f(u^{(k-1)})}{\nabla f(u^{(i)})} \nabla f(u^{(i)}) \right] \end{aligned}$$

Ceci nous donne la suite $\{d^{(k)}\}$ par recurrence sous la forme

$$\begin{cases} d_0 = \nabla f(u^{(0)}) \\ d_k = \nabla f(u^{(k)}) + \frac{\|\nabla f(u^{(k)})\|^2}{\|\nabla f(u^{(k-1)})\|^2} d_{k-1} \end{cases} \quad (1.12)$$

Il reste à déterminer les ρ_k

Rappelons qu'on a la relation de recurrence :

$$u^{(k+1)} = u^{(k)} + \rho_k d_k$$

et que nous avons

$$f(u^{(k)} + \rho_k d_k) \leq f(u^{(k)} + y), \forall y \in G_k$$

ce qui nous donne

$$f(u^{(k)} + \rho_k d_k) \leq f(u^{(k)} + \rho d_k), \forall \rho \in \mathbb{R}$$

car $\rho d_k \in G_k$. On en déduit que ρ_k est un point de minimum sur \mathbb{R} de l'application

$$\rho \in \mathbb{R} \rightarrow f(u^{(k)} + \rho d_k) \in \mathbb{R}$$

Donc ρ_k est un point où la dérivée de cette application s'annule, ce qui donne

$$\langle \nabla f(u^{(k)} + \rho_k d_k), d_k \rangle = 0$$

c'est à dire

$$\langle Au^{(k)} + \rho_k Ad_k - b, d_k \rangle = 0$$

On obtient alors

$$\rho_k = \frac{\langle \nabla f(u^{(k)}), d_k \rangle}{\langle Ad_k, d_k \rangle} \tag{1.13}$$

Remarque 1.2.2 : Proposition (2) nous dit que $\Delta_k \neq 0$, ce qui nous donne $d_k \neq 0$. Ceci implique $\langle Ad_k, d_k \rangle > 0$, car la matrice A est symétrique définie positive, l'algorithme des gradients conjugués (AGC) pour une fonction quadratique avec une matrice A symétrique définie positive est alors le suivant :

1. **pas 1**

On pose $k=0$, on choisit $u^{(0)} \in \mathbb{R}$ et on pose $d_0 = \nabla f(u^{(0)}) = Au^{(0)} - b$.

2. **pas 2**

si $\nabla f(u^{(k)}) = 0$, STOP "La solution u^* est $u^{(k)}$. sinon va au **pas 3**.

3. **pas 3**

on pose

$$\rho_k = \frac{\langle \nabla f(u^{(k)}), d_k \rangle}{\langle Ad_k, d_k \rangle}$$

$$u^{(k+1)} = Au^{(k)} + \rho_k d_k$$

$$\beta_k = \frac{\|\nabla f(u^{(k+1)})\|^2}{\|\nabla f(u^{(k)})\|^2}$$

$$d_{k+1} = \nabla f(u^{(k+1)}) + \beta_k d_k$$

faire $k = k + 1$

retour au **pas 2**.

les coefficient β_{k+1} étant choisis de manière que $d^{(k)}$ soit conjugué avec toutes les directions précédentes autrement dit :

$$d_{k+1}^\top Ad_k = 0$$

en $u^{(k)}$ et de la direction précédente d_{k-1} c'est-à-dire :

$$d_{k+1} = -\nabla f(u^{(k+1)}) + \beta_k d_k$$

on déduit que :

$$(-\nabla f(u^{(k+1)}) + \beta_{k+1} d_k)^\top Ad_k = 0$$

$$-\nabla^\top f(u^{(k+1)})Ad_k + \beta_{k+1}d_k^\top = 0$$

$$\beta_{k+1} = \frac{\nabla^\top f(u^{(k+1)})Ad_k}{d_k^\top Ad_k}$$

si on note $g_k = \nabla f(u^{(k)})$ donc :

$$\beta_{k+1} = \frac{g_{k+1}^\top Ad_k}{d_k^\top Ad_k}$$

Défférentes formules de β_k dans le cas quadratique

les différentes valeurs attribuées à β_k définissent les différentes formes du gradient conjugué :

si on note $y_{k-1} = g_k - g_{k-1}$, on obtient les variantes suivantes :

1. Gradient conjugué variante Hestenes-Stiefel(HS)

$$\beta_k^{HS} = \frac{g_{k+1}^\top y_k}{d_k^\top y_k}$$

2. Gradient conjugué variante Fletcher-Reeves(FR)

$$\beta_k^{FR} = \frac{\|g_k\|^2}{\|g_{k-1}\|^2}$$

3. Gradient conjugué variante Daniel(D)

$$\beta_k^D = \frac{g_{k-1}^\top \nabla^2 f(u^{(k)})d_k}{d_k^\top \nabla^2 f(u^{(k)})d_k}$$

4. Gradient conjugué variante Polak-Ribière-Polyak(PRP)

$$\beta_k^{PRP} = \frac{g_k^\top y_k}{\|g_{k-1}\|^2}$$

5. Gradient conjugué variante descent-Fletcher(CD)

$$\beta_k^{CD} = \frac{\|g_k\|^2}{d_{k-1}^\top g_{k-1}}$$

6. Gradient conjugué variante Dai-Yuan

$$\beta_k^{Dy} = \frac{\|g_k\|^2}{d_{k-1}^\top y_{k-1}}$$

Remarque 1.2.3 Dans le cas quadratique ,on'a vu que :

$$\beta_k^{HS} = \beta_k^{PRP} = \beta_k^{FR} = \beta_k^{CD} = \beta_k^{Dy}$$

Notation 1.2.2 soit le problème de minimisation suivant

$$\Phi(x) = \frac{1}{2}x^\top Ax - b^\top x$$

notons que le gradient de Φ est égale au résidu du système linéaire :

$$\nabla\Phi(x) = Ax - b := r(x)$$

passons maintenant au théorème suivant , qui nous dit que les direction d_0, \dots, d_{n-1} sont effectivement A -conjugué, Dautre plus , il nous dit que les risidus r_i sont deux à deux orthogonaux et que chaque d_k et chaque risidus r_i sont contenus dans le sous-espace de krylov de degré k pour r_0 , défini par $K(r_0; k) := span\{r_0, Ar_0, \dots, A^k r_0\}$

Théorème 1.2.2 supposons que le k -ième itéré, généré par la méthode du gradient conjugué n'est pas le point x^* , alors les quatre propriétés suivante sont vraies :

$$r_k^\top r_i = 0, \text{ pour } i = 0, \dots, k - 1$$

$$\text{span}\{r_0, r_1, \dots, r_k\} = \text{span}\{r_0, Ar_0, \dots, A^k r_0\}$$

$$\text{span}\{d_0, d_1, \dots, d_k\} = \text{span}\{r_0, Ar_0, \dots, A^k r_0\}$$

$$d_k^\top Ad_i = 0, \text{ pour } i = 0, 1, \dots, k-1$$

voilà pour quoi la séquence $\{x_k\}$ converge vers x^* en au plus n pas

algorithme 1

x_0 soit fixé posons $r_0 \leftarrow Ax_0 - b$, $d_0 \leftarrow -r_0$, $k \leftarrow 0$; **while** $r_0 \neq 0$

$$\rho_k \leftarrow \frac{r_k^\top r_k}{d_k^\top Ad_k};$$

$$x_{k+1} \leftarrow x_k + \rho_k Ad_k;$$

$$r_{k+1} \leftarrow r_k + \rho_k Ad_k;$$

$$\beta_{k+1} \leftarrow \frac{r_{k+1}^\top r_{k+1}}{r_k^\top r_k};$$

$k \leftarrow k + 1$; **end(while)**

les avantages de la méthode du gradient conjugué quadratique :

1. la consommation mémoire de l'algorithme est minimale : on doit stocker les quatre vecteurs $u^{(k)}$, g_k , d_k , Ad_k et les scalaires ρ_k , β_k .
2. l'algorithme du gradient conjugué linéaire est surtout utile pour résoudre des grands systèmes creux, en effet il suffit de savoir appliquer la matrice A à un vecteur.
3. la convergence peut être assez rapide : si A admet seulement r ($r < n$) valeurs propres distinctes la convergence a lieu en au plus r itérations.

1.2.2 Cas d'une fonction f quelconque

On suppose ici $f : \mathbb{R} \rightarrow \mathbb{R}$ une fonction elliptique. Dans ce cas l'algorithme des gradients conjugués est le suivant (c'est une "petite" modification de l'algorithme précédent) :

1. pas 1

On pose $k = 0$, on choisit $u^{(0)} \in \mathbb{R}^n$ et on pose $d_0 = \nabla f(u^{(0)})$.

2. pas 2

si $\nabla f(u^{(k)}) = 0$, STOP "La solution u^* est $u^{(k)}$. sinon va au **pas 3**.

3. pas 3

on pose

$$u^{(k+1)} = u^{(k)} + \rho_k d_k$$

où $\rho_k \in \mathbb{R}$ est l'unique élément qui minimise la fonction

$$\rho \in \mathbb{R} \rightarrow f(u^{(k)} + \rho d_k) \in \mathbb{R}$$

et ensuite

$$\beta_k = \frac{\|\nabla f(u^{(K+1)})\|^2}{\|\nabla f(u^{(K)})\|^2}$$

$$d_{k+1} = \nabla f(u^{(K+1)}) + \beta_k d_k$$

faire $k = k + 1$ retour au **pas 2**.

Ceci est la variante dite de Fletcher-Reeves.

Il y a aussi la variante dite de Polack-Ribiere avec comme seul changement

$$\beta_k = \frac{\langle \nabla f(u^{(k+1)}) - \nabla f(u^{(K)}), \nabla f(u^{(K)}) \rangle}{\|\nabla f(u^{(K)})\|^2}$$

Cette dernière variante donne des meilleurs résultats en pratique.

Remarque 1.2.4 : *Ces deux versions coïncident dans le cas d'une fonction f quadratique, car dans ce cas on a*

$$\langle \nabla f(u^{(k+1)}), \nabla f(u^{(K)}) \rangle = 0$$

Chapitre 2

La convergence

2.1 La convergence de la méthode du gradient

Nous disons qu'un algorithme itératif est globalement convergent si à partir d'un point initial arbitraire et admissible on génère une suite qui converge vers le point minimal de la fonction objective , si le point initial est suffisamment près de la solution, dans ce cas, nous disons que la convergence est locale.

Dans cette section , nous analysons les propriétés de convergence des méthodes de gradient de descent , en incluant la méthode de gradient à pas fixe.

Nous étudierons les caractéristiques importantes de convergence de la méthode de gradient d'un problème quadratique , soit :

tels que $Q = Q^T > 0$. la solution x^* est obtenue par résolution de système $Qx = b$.

Lemme 2.1.1 *l'algorithme itératif*

$$x_{k+1} = x_k - \alpha_k g_k$$

avec $g_k = Qx_k - b$ qui satisfait

$v(x_{k+1}) = (1 - \gamma_k)v(x_k)$ avec : si $g_k = 0$ alors $\gamma_k = 1$.

et si $g_k \neq 0$ alors :

$$\gamma_k = \alpha_k \frac{g_k^\top Q g_k}{g_k^\top Q^{-1} g_k} \left(2 \frac{g_k^\top g_k}{g_k^\top Q g_k} - \alpha_k \right)$$

Preuve. la preuve est par calcul direct, notons que si $g_k = 0$, alors le resultat est trivial , le reste de la preuve pour $g_k \neq 0$, nous évaluons d'abord l'expression

$$\frac{v(x_k) - v(x_{k+1})}{v(x_k)}$$

pour faciliter des calculs, soit $y^{(k)} = x_k - x^*$, alors :

$$v(x_{k+1}) = \frac{1}{2} y^{(k)\top} Q y^{(k)}.$$

par conséquent

$$\begin{aligned} v(x_{k+1}) &= \frac{1}{2} (x_{k+1} - x^*)^\top Q (x_{k+1} - x^*) \\ &= \frac{1}{2} (x_k - x^* - \alpha_k g_k)^\top Q (x_k - x^* - \alpha_k g_k) \\ &= \frac{1}{2} y^{(k)\top} Q y^{(k)} - \alpha_k g_k^\top Q y^{(k)} + \frac{1}{2} \alpha_k^2 g_k^\top Q g_k \end{aligned}$$

alors

$$\frac{v(x_k) - v(x_{k+1})}{v(x_k)} = \frac{2\alpha_k g_k^\top Q y^{(k)} - \alpha_k^2 g_k^\top Q g_k}{y^{(k)\top} Q y^{(k)}}$$

puisque :

$$g_k = Qx_k - b = Qx_k - Qx^* = Qy^{(k)}.$$

nous avons :

$$y^{(k)\top} Q y^{(k)} = g_k^\top Q^{-1} g_k$$

$$g_k^\top Q y^{(k)} = g_k^\top g_k$$

donc :

$$\frac{v(x_k) - v(x_{k+1})}{v(x_k)} = \alpha_k \frac{g_k^\top Q g_k}{g_k^\top Q^{-1} g_k} \left(2 \frac{g_k^\top g_k}{g_k^\top Q g_k} - \alpha_k \right) = \gamma_k .$$

Notons que $\gamma_k \leq 1 \quad \forall k$, car $\gamma_k = 1 - \frac{v(x_{k+1})}{v(x)}$, et v est une fonction non négative .

si $\gamma_k = 1$ pour un certain k , alors $v(x_{k+1}) = 0$

qui est équivalent à $x_{k+1} = x^*$. Dans ce cas, nous avons également cela pour tous $i \geq k+1$ $x^{(i)} = x^*$ et $\gamma_i = 1$. Il s'avère que $\gamma_k = 1$ si seulement si $g^{(k)} = 0$ ou $g^{(k)}$ est un vecteur propre de Q

Nous sommes maintenant prêtes à énoncer et prouver notre théorème de convergence pour les méthodes de gradient , le théorème donne la condition nécessaire et suffisant pour la suite $\{x_k\}$ produite par la méthode de gradient qui converge vers x^* c'est à dire $x_k \rightarrow x^*$, ou $\lim_{k \rightarrow \infty} x_k = x^*$. ■

Théorème 2.1.1 *soit $\{x_k\}$ la suite résultant d'un algorithme de gradient*

$$x^{(k+1)} = x_k - \alpha_k g_k$$

soit γ_k définie par le lemme 2.1.1 et supposons que $\gamma_k > 0$ pour tous les k , alors $x^{(k)}$ converge vers x^* pour n'importe quel le condition initiale $x^{(0)}$ si seulement si :

$$\sum_{k=0}^{\infty} \gamma_k = \infty$$

Exemple 2.1.1 *nous montrons ,par un contre exemple , que l'hypothèse $\gamma_k > 0$ dans le théorème 2.1.1 est nécessaire pour la validation du théorème .*

En effet, pour chaque $k = 0, 1, 2, \dots$ choisise de telle manière que $\gamma_{2k} = \frac{1}{2}$ et $\gamma_{2k+1} = -\frac{1}{2}$ (nous pouvons toujours faire ceci, par exemple $Q = I_n$)

du lemme 2.1.1 nous avons :

$$\begin{aligned} v(x_{k+1}) &= \left(1 - \frac{1}{2}\right)\left(1 + \frac{1}{2}\right)v(x_{2k}) \\ &= \frac{3}{4}v(x_{2(k+1)}) \end{aligned}$$

donc $v(x_{2k+1}) \rightarrow 0$, puisque $v(x_{2k+1}) = \frac{3}{2}v(x_{2k})$ nous avons aussi que

$v(x_{2k+1}) \rightarrow 0$, alors $v(x_k) \rightarrow 0$ qui implique que $x_k \rightarrow 0$ (pour tous $x^{(0)}$)

d'une part, il est clair que :

$$\sum_{i=0}^k \gamma_i \leq \frac{1}{2}$$

pour tous k , alors le résultat du théorème ne tient pas si $\gamma_k \leq 0$ pour certain k .

nous pouvons maintenant établir la convergence dans le cas de l'algorithme de la méthode de descent à pas fixe, nous employons l'inégalité de Rayleigh pour tout $Q = Q^\top > 0$, nous avons :

$$\lambda_{\min}(Q) \|x\|^2 \leq x^\top Q x \leq \lambda_{\max}(Q) \|x\|^2$$

là où $\lambda_{\min}(Q)$ est la valeur propre minimale de Q et $\lambda_{\max}(Q)$ est la valeur propre maximale de Q , pour $Q = Q^\top > 0$ nous avons aussi :

$$\lambda_{\min}(Q^{-1}) = \frac{1}{\lambda_{\max}(Q)}$$

$$\lambda_{\max}(Q^{-1}) = \frac{1}{\lambda_{\min}(Q)}$$

et

$$\lambda_{\min}(Q^{-1}) \|x\|^2 \leq x^\top Q^{-1} x \leq \lambda_{\max}(Q^{-1}) \|x\|^2$$

Lemme 2.1.2 soit $Q = Q^\top > 0$ une matrice ymetrique définie et positive de dimention $n \times n$ pour n'importe quelle $x \in \mathbb{R}^n$ nous avons :

$$\frac{\lambda_{\min}(Q)}{\lambda_{\max}(Q)} \leq \frac{(x^\top x)^2}{(x^\top Q x)(x^\top Q^{-1} x)} \leq \frac{\lambda_{\max}(Q)}{\lambda_{\min}(Q)}$$

Théorème 2.1.2 dans l'algorithme de la descent nous avons $x^{(k)} \rightarrow x^*$ pour tous $x^{(0)}$.

Preuve. si $g_k = 0$ pour certain k , puis $x^{(k)} = x^*$ supposons que $g_k \neq 0 \forall k$, rappelons

que pour l'algorithme de descente à pas optimal

$$\alpha_k = \frac{g_k^\top g_k}{g_k^\top Q g_k}$$

la substitution de l'expression ci dessus pour α_k dans la formule pour γ_k rapporte

$$\gamma_k = \frac{(g_k^\top g_k)^2}{(g_k^\top Q g_k)(g_k^\top Q^{-1} g_k)}$$

Notons dans ce cas $\gamma_k > 0$ pour tous les k , en autre, par lemme 2.1.2 nous avons $\gamma_k \geq \frac{\lambda_{\min}(Q)}{\lambda_{\max}(Q)} \geq 0$, donc $\sum_{k=0}^{\infty} \gamma_k = \infty$ (théorème 1.2.1) nous concluons que $x_k \rightarrow x^*$. ■

considérons maintenant la méthode de gradient à pas fixe, ie que $\alpha_k = \alpha \in \mathbb{R}$, pour tout k l'algorithme est de la forme :

$$x_{k+1} = x_k - \alpha g_k$$

l'algorithme est d'intérêt pratique en raison de sa simplicité, en particulier, l'algorithme n'exige pas d'une ligne recherche à chaque étape de détermination α_k , parce que la même étape α est employées à chaque étape, clairement la convergence de l'algorithme dépend du choix de α , et nous n'attendrions pas à ce que l'algorithme fonctionne pour α arbitraire, le théorème suivant donne des conditions nécessaires et suffisants sur α pour la convergence de l'algorithme.

Théorème 2.1.3 *pour l'algorithme de gradient à pas fixe $x_k \rightarrow x^*$ pour tout $x^{(0)}$ si et seulement si :*

$$0 < \alpha < \frac{2}{\lambda_{\max}(Q)}$$

Exemple 2.1.2 *soit la fonction f est donnée par :*

$$f(x) = x^\top \begin{bmatrix} 4 & 2\sqrt{2} \\ 0 & 5 \end{bmatrix} x + x^\top \begin{bmatrix} 3 \\ 6 \end{bmatrix} + 24$$

l'objet dans ce exemple est de minimiser f par l'utilisation d'algorithme de gradient à

pas fixe, pour appliquer le théorème 2.1.3, nous symétrisons d'abord la matrice de la forme quadratique de f pour obtenir :

$$f(x) = \frac{1}{2}x^\top \begin{bmatrix} 8 & 2\sqrt{2} \\ 2\sqrt{2} & 10 \end{bmatrix} x + x^\top \begin{bmatrix} 3 \\ 6 \end{bmatrix} + 24$$

les valeurs propres de la matrice sont 6 et 12, par le théorème 2.1.3 l'algorithme converge aux minimums pour tout $x^{(0)}$ si seulement si :

$$0 < \alpha < \frac{1}{2}$$

Taux de convergence

nous tournons maintenant à la question des taux de convergence des algorithmes de gradient, en particulier nous concentrons sur l'algorithme de la descente ..., nous présentons d'abord le théorème suivant.

Théorème 2.1.4 dans la méthode de descente appliquée à la fonction quadratique à chaque pas k nous avons :

$$v(x_{k+1}) \leq \left(\frac{\lambda_{\max}(Q) - \lambda_{\min}(Q)}{\lambda_{\max}(Q)} \right) v(x_k)$$

pour étudier plus loin les propriétés de convergence d'une suite $\{x_k\}$ nous avons besoin la définition suivante

Définition 2.1.1 soit $\{x_k\}$ une suite qui converge aux x^* à d :

$$\lim_{k \rightarrow \infty} \|x_k - x^*\| = 0$$

nous disons l'ordre de convergence est p tels que $p \in \mathbb{R}$ si :

$$0 < \lim_{k \rightarrow \infty} \frac{\|x_{k+1} - x^*\|}{\|x_k - x^*\|^p} < \infty$$

et nous disons que l'ordre de convergence est ∞ , si pour tout $p > 0$:

$$\lim_{k \rightarrow \infty} \frac{\|x_{k+1} - x^*\|}{\|x_k - x^*\|^p} = 0$$

l'ordre de convergence d'une suite est une mesure de son taux de convergence, plus l'ordre est haut, plus la vitesse de la convergence est rapide, l'ordre de convergence s'appelle parfois également le taux de convergence.

si $p = 1$ (convergence de premier ordre) nous indiquons que la convergence est linéaire.

si $p = 2$ (convergence de second ordre) nous disons que la convergence est quadratique.

Exemple 2.1.3 1. supposons que $x_k = \frac{1}{k}$, et que $x_k \rightarrow 0$ puis

$$\frac{|x_{k+1}|}{|x_k|^p} = \frac{1/(k+1)}{1/k^p} = \frac{k^p}{k+1}$$

si $p < 1$, la suite converge à 0.

si $p > 1$, il devient à ∞ .

si $p = 1$, la suite converge à 1, donc l'ordre de la convergence est 1 (nous avons la convergence linéaire).

l'ordre de convergence peut être interpréter utilise la notion du l'ordre 0, se rappeler que $\alpha = o(h)$, s'il existe un constant c tel que $|\alpha| < c(h)$ pour suffisamment petit h .

Théorème 2.1.5 soit $\{x_k\}$ est une suite converge à x^* si

$$\|x_k - x^*\| = o(\|x_k - x^*\|^p)$$

l'ordre de convergence (s'il existe) est moins que p .

par exemple, l'ordre de convergence est moins que 2 si :

$$\|x_{k+1} - x^*\| = o(\|x_k - x^*\|^2)$$

Preuve. soit s l'ordre de convergence de $\{x_k\}$, supposons

$$\|x_{k+1} - x^*\| = O(\|x_k - x^*\|^2).$$

puis il existe c tels que pour k suffisamment grand

$$\frac{\|x_{k+1} - x^*\|}{\|x_k - x^*\|^p} < c .$$

donc

$$\begin{aligned} \frac{\|x_{k+1} - x^*\|}{\|x_k - x^*\|^s} &= \frac{\|x_{k+1} - x^*\|}{\|x_k - x^*\|^p} \|x_k - x^*\|^{p-s} \\ &\leq c \|x_k - x^*\|^{p-s} \end{aligned}$$

par passagr à la limite

$$\lim_{k \rightarrow \infty} \frac{\|x_{k+1} - x^*\|}{\|x_k - x^*\|^s} \leq c \lim_{k \rightarrow \infty} \|x_k - x^*\|^{p-s}$$

puisque par définition s est l'ordre de convergence

$$\lim_{k \rightarrow \infty} \frac{\|x_{k+1} - x^*\|}{\|x_k - x^*\|^s} > 0$$

combinons les deux inégalité ci dessus nous obtenons

$$c \lim_{k \rightarrow \infty} \|x_k - x^*\|^{p-s} > 0$$

parce que $\lim_{k \rightarrow \infty} \|x_k - x^*\| = 0$, nous concluons que $s \geq p$, ie l'ordre de convergence est au moins p ■

L'ordre de la convergence d'aucun suite convergent ne peut pas être plus petit que 1

nous fournissons un exemple où l'ordre de convergence d'un algorithme de gradient à pas fixe est plus petit que 1.

Exemple 2.1.4 considérons le problème de minimisation de la fonction $f : \mathbb{R} \rightarrow \mathbb{R}$ définie par $f(x) = x^2 - \frac{x^3}{3}$

nous employons l'algorithme

$$x_{k+1} = x_k - \alpha f'(x^{(k)})$$

avec $\alpha = \frac{1}{2}$ et la condition initiale $x^{(0)} = 1$

nous prouvons d'abord que l'algorithme converge à un minimum local de f , nous avons $f'(x) = 2x - x^2$, donc l'algorithme de gradient à pas fixe avec $\alpha = \frac{1}{2}$ est donnée par :

$$x_{k+1} = x_k - \alpha f'(x) = \frac{1}{2}(x_k)^2$$

avec $x_0 = 1$, nous pouvons dériver l'expression $x_k = (\frac{1}{2})^{2^k - 1}$ alors l'algorithme converge vers 0 qui est un minimum local de f , noter que

$$\frac{|x_{k+1}|}{|x_k|^2} = \frac{1}{2}$$

donc l'ordre de convergence est 2

En conclusion, il y a des cas pour les quels l'ordre de convergence de l'algorithme de descent est égale à 1.

2.1.1 la convergence de la méthode de gradient conjugué

grâce à la troisième propriété du théorème 1.2.2 et au deuxième pas de l'algorithme 3, nous avons que

$$\begin{aligned} x_{k+1} &= x_0 + \rho_0 d_0 + \dots + \rho_k d_k \\ &= x_0 + \gamma_0 r_0 + \gamma_1 A r_0 + \dots + \gamma_k A^k r_0 \end{aligned}$$

Définissons maintenant P_k^* comme étant un polynôme de degré k avec les coefficients $\gamma_0, \gamma_1, \dots, \gamma_k$ remplaçons notre polynôme dans l'expressions ci-dessus :

$$x_{k+1} = x_0 + P_k^*(A)r_0$$

Nous allons maintenant que parmi toutes les méthodes possibles dans les k premier pas sont restreints sur le sous espace de krylov $K(r_0; k)$, l'algorithme 3 donne le meilleure résultat en termes de minimisation de la distance vers la solution , si cette distance est mesurée par $\|\cdot\|_A$, défini comme

$$\|Z\|_A = Z^\top A Z$$

D'après cette définition, on constate que :

$$\frac{1}{2} \|x - x^*\|_A^2 = \frac{1}{2} (x - x^*)^\top A (x - x^*)$$

par conséquence d'après la méthode de gradient conjugué x_{k+1} minimise $\|x - x^*\|_A^2$ sur l'ensemble $x_0 + \text{span}\{d_0, \dots, d_k\}$, comme $x_{k+1} = x_0 + P_k^*(A)r_0$, il en suit que P_k^* est la solution de

$$\min_{P_k} \|x_0 + P_k(A)r_0 - x^*\|_A$$

de plus, nous avons que :

$$\begin{aligned} x_{k+1} - x^* &= x_0 + P_k^*(A)r_0 - x_0 \\ &= [I + P_k^*(A)A](x_0 - x^*) \end{aligned}$$

soient $0 < \lambda_1 \leq \lambda_2 \leq \dots \leq \lambda_n$ les valeurs propres de A et v_1, \dots, v_n les vecteurs propres orthonormés correspondants. Nous savons bien que ces vecteurs propres engendrent \mathbb{R}^n , donc $x_0 - x^* = \sum_{i=1}^n \Psi_i v_i$ et il est aussi facile à voir que les vecteurs propres de A sont aussi des vecteurs propres de $P_k(A)$ pour tout polynôme, Nous pouvons donc écrire que

$$P_k(A)v_i = P_k(\lambda_i)v_i, \quad i = 1, 2, \dots, n$$

et donc

$$x_{k+1} - x^* = \sum_{i=1}^n [1 + \lambda_i P_k^*(\lambda_i)] \Psi_i v_i$$

la norme définie ci dessus nous permet de dire que

$$\begin{aligned} \|x_{k+1} - x^*\|_A^2 &= \min_{P_k} \sum_{i=1}^n \lambda_i [1 + \lambda_i P_k(\lambda_i)]^2 \Psi_i^2 \\ &\leq \min_{P_k} \max_{1 \leq i \leq n} [1 + \lambda_i P_k(\lambda_i)]^2 \left(\sum_{j=1}^n \lambda_j \Psi_j^2 \right) \\ &= \min_{P_k} \max_{1 \leq i \leq n} [1 + \lambda_i P_k(\lambda_i)]^2 \|x_0 - x^*\|_A^2 \end{aligned}$$

sachant que $\|x_0 - x^*\|_A^2 = \sum_{j=1}^n \lambda_j \Psi_j^2$. cette dernière expression nous permet de quantifier le taux de convergence de la méthode du gradient conjugué.

Théorème 2.1.6 *si A a seulement r (avec $r < n$) valeurs propres distinctes, alors l'algorithme du gradient conjugué arrive à la solution en au plus r itérations.*

Preuve. soient $\tau_1 < \dots < \tau_r$ les valeurs distinctes des valeurs propres $\lambda_1 \dots \lambda_n$.

Définissons maintenant $Q_r(\lambda)$ par

$$Q_r(\lambda) = \frac{(-1)^r}{\tau_1 \tau_2 \dots \tau_r} (\lambda - \tau_1) \dots (\lambda - \tau_r).$$

Il est facile de voir que $Q_r(\lambda) - 1$ est un polynôme de degré r avec une racine $\lambda = 0$.

Définissons ensuite \bar{P}_{r-1} , un polynôme de degré $r - 1$ par

$$\bar{P}_{r-1}(\lambda) = \frac{(Q_r(\lambda) - 1)}{\lambda}$$

En posant $r - 1$ dans $\min_{P_k} \max_{1 < i < n} [1 + \lambda_i P_k(\lambda_i)]^2$ nous obtenons

$$0 \leq \min_{P_k} \max_{1 \leq i \leq n} [1 + \lambda_i P_{r-1}(\lambda_i)]^2 \leq \max_{1 \leq i \leq n} [1 + \lambda_i P_{r-1}(\lambda_i)]^2 = \max_{1 \leq i \leq n} Q_r(\lambda_i) = 0$$

Donc, pour $k = r - 1$ on trouve que $\|x_r - x^*\|_A = 0$ alors $x_r = x^*$. ■

Théorème 2.1.7 *si A a des valeurs propres $\lambda_1 \leq \lambda_2 \dots \leq \lambda_n$, nous avons que*

$$\|x_{k+1} - x^*\|_A^2 \leq \left(\frac{\lambda_{n-k} - \lambda_1}{\lambda_n + \lambda_1} \right)^2 \|x_0 - x^*\|_A^2$$

on donne juste une idée comment ce resultat à été trouvé . On choisit un polynôme \bar{P}_k de degré k tel que le polynôme $Q_{k+1}(\lambda) = 1 + \lambda \bar{P}_k(\lambda)$ a comme racines les plus grandes valeurs propres $\lambda_n, \lambda_{n-1}, \dots, \lambda_{n-k+1}$ et le point milieu entr λ_1 et λ_{n-k} . On peut montre que la valeurs maximale atteinte par Q_{k+1} sur $\lambda_1, \dots, \lambda_{n-k+1}$ et $\frac{\lambda_{n-k} - \lambda_1}{\lambda_n + \lambda_1}$.

le théorème nous permet de prédire le comportement de la méthode du gradient conjugué . Supposons par exemple que la valeurs propres de A consistent en m grandes valeurs propres et les $n - m$ valeurs propres restantes sont situées autour de 1 .

si nous définissons $\epsilon = \lambda_{n-m} - \lambda_1$ le théorème 2.1.7 dit qu'après $m + 1$ pas de la méthode de gradient conjugué , nous avons que

$$\|x_{m+1} - x^*\|_A \approx \|x_0 - x^*\|_A$$

pour une petite valeur de ϵ après $m + 1$ pas de la méthode va nous donner une bonne approximation de la solution. Mais attention, le théorème 2.1.7 nous donne une borne supérieure. Il se peut que la méthode nous donne déjà des bons résultats après les premières itérations. Il est généralement vrai que si les valeurs propres apparaissent en r groupes, alors la méthode du gradient conjugué résout approximativement le problème après r pas. une autre expression de convergence pour la méthode de gradient conjugué est celle basée sur le nombre de condition spectral. celui-ci est défini par

$$K = \|A\|_2 \cdot \|A^{-1}\|_2 = \frac{\lambda_n}{\lambda_1}$$

On arrive ensuite à montrer que

$$\|x_k - x^*\|_A \leq \left(\frac{\sqrt{K} - 1}{\sqrt{K} + 1} \right)^{2k} \|x_0 - x^*\|_A$$

cette expression est plus approximative que celle de l'erreur précédente. Mais en réalité, souvent, on n'a pas beaucoup d'information sur A et ses valeurs propres. cette dernière méthode ne demande que les valeurs propres extrêmes ou des approximation de celles-ci.

Préconditionnement

pour accélérer la méthode du gradient conjugué, on peut transformer le système linéaire de telle façon à ce que les valeurs propres de la matrice A mieux distribués, le processus présenté par la suite est appelé le préconditionnement. Il s'agit de changer la variable x en une variable \hat{x} au moyen d'une matrice C -non -singulière : $\hat{x} = Cx$. Par conséquent ϕ est transformée en

$$\hat{\phi}(\hat{x}) = \frac{1}{2} \hat{x}^\top (C^{-\top} A C^{-1}) \hat{x} - (C^{-\top} b)^\top \hat{x} \quad (2.1)$$

En utilisant l'algorithme 5 pour minimiser $\hat{\phi}(\hat{x})$ ou bien pour résoudre le système linéaire

$$(C^{-\top} A C^{-1}) \hat{x} = C^{-\top} b$$

le taux de convergence dépend des valeurs propres de la matrice $C^{-\top}AC^{-1}$ et non de celles de matrice A . On pourrait donc par exemple choisir C de telle manière que le nombre de condition de A . Une autre idée serait de choisir C tel que les valeurs propres de $C^{-\top}AC^{-1}$ sont regroupées en un petit nombre r de groupes. Ainsi on trouve une bonne approximation après seulement r itération. L'algorithme ci-dessous nous n'est rien d'autres qu'une application de l'algorithme 1 au problème 2.1 par rapport à \hat{x} . En suite, il transforme toutes les équations pour les exprimer par rapport à x . On remarque que l'algorithme 8 n'utilise pas explicitement C , mais plutôt la matrice $M = C^{\top}C$, qui est symétrique et défini positive par construction.

algorithme 2

gradient conjugué préconditionné x_0 soit fixé et M le préconditionneur de A_i ; Posons $r_0 \leftarrow Ax_0 - b$; Résoudre $My_0 = r_0$ par rapport à y_0 ; Posons $P_0 \leftarrow -r_0$, $k \leftarrow 0$; while $r_0 \neq 0$

$$\rho_k \leftarrow \frac{r_k^{\top} y_k}{d_k^{\top} A d_k};$$

$$x_{k+1} \leftarrow x_k + \rho_k d_k;$$

$$r_{k+1} \leftarrow r_k + \rho_k A d_k;$$

$$M y_{k+1} \leftarrow r_{k+1};$$

$$\beta_{k+1} \leftarrow \frac{r_{k+1}^{\top} y_{k+1}}{r_k^{\top} r_k};$$

$$d_{k+1} \leftarrow -y_{k+1} + \beta_{k+1} d_k;$$

$$k \leftarrow k + 1;$$

end(while)

si dans l'algorithme 2 nous remplaçons M par I on retombe sur l'algorithme 1 les propriétés de l'algorithme 1 se généralisent de façon intéressante, par exemple la première affirmation

du théorème 1.2.2 , à savoir $r_k^\top r_i = 0$ pour $i = 0, \dots, k-1$ devient

$$r_k^\top M r_j = 0 \quad \forall i \neq j$$

pour l'ordinateur, la grande différence entre l'algorithme 8 et l'algorithme 5 est qu'il faut encore résoudre le système $My = r$.

2.1.2 Préconditionneurs pratique

Comme si souvent en numérique, il n'existe pas une meilleure stratégie de préconditionnement valable pour tout type de matrices. Des preconditionneurs généraux ont bien été proposé mais leurs efficacité varie fortement d'un problème à l'autre. Les stratégie les plus importantes de ce genre sont la SSOR (symétric succisseve overrelaxation), la méthode de cholesky incomplète et les preconditionneurs par bande .

Chapitre 3

Application

3.1 Le problème de contrôle optimale

le but est réduire au minimum le coût fonctionnel

$$J = \varphi [x, \pi]_{t_r} + \int_{t_0}^{t_r} L(x, u, \pi, t) dt \quad (3.1)$$

avec l'équation différentielle :

$$\dot{x} = f(x, u, \pi, t), \quad x(t_0) = 0 \quad (3.2)$$

contraintes de contrôle :

$$a_j \leq u_j(t) \leq b_j, \quad j = 1; 2, \dots, r \quad (3.3)$$

et avec les paramètres :

$$c_k \leq \pi_k \leq d_k, \quad k = 1, 2, \dots, q \quad (3.4)$$

f une fonction vectorielle non linéaire de dimension n , de direction le vecteur x , u le

vecteur d'entré de controle avec dimension r et π est un vecteur de pramètre de dimension q , t_0 est le temps initial donnè, t_r est le temps final, on suppose qu'il est donnè, φ et L sont des fonctions scalaires ,on suppose donnè une controle u ,a paramètre π ,3.2 peut être résolu pour un unique $x = (u, \pi)$.Ainsé $J = J(u, \pi)$ est une fonction unique de u et de π , on suppose que le gradient de J est existe .

Notons H la fonction hamiltonienne donnè par :

$$H(x, \lambda, u, \pi, t) = \lambda^\top f(x, u, \pi, t) + L(x, u, \pi, t) \quad (3.5)$$

où $x(t)$ est une fonction de vecteur de dimension n , puis les états d'optimalité nécessaires sont pour le cas sans contraintes 3.3 , 3.4 comme suit (voir l'exemple 3)

$$\dot{\lambda} = -\frac{\partial H}{\partial x} \quad (3.6)$$

$$\lambda(t_f) - \left(\frac{\partial \varphi}{\partial \pi}\right)_{t=t_r} = 0 \quad (3.7)$$

$$\frac{\partial H}{\partial u} = 0 \quad (3.8)$$

$$\left(\frac{\partial \varphi}{\partial \pi}\right)_{t=t_r} + \int_{t_0}^{t_r} \frac{\partial H}{\partial \pi} \partial t = 0 \quad (3.9)$$

supposons que $\frac{\partial H}{\partial u}$ est continu dans u et $\frac{\partial H}{\partial \pi}$ sur π .

Toutes les expressions sont évalués vers la solution optimale x^*, u^* et π^* .Tous les vecteurs ,incluant aussi le gradient de diverses fonction, qui sont supposé être des vecteurs colonne.

Les variation par gradient de u et π peut être comme suit :

$$g(t) = \frac{\partial H}{\partial u} \quad (3.10)$$

et

$$h = \left(\frac{\partial \varphi}{\partial \pi} \right)_{t=t_r} + \int_{t_0}^{t_r} \frac{\partial H}{\partial \pi} \partial t \quad (3.11)$$

3.2 l'algorithme de gradient conjugué

la méthode du gradient conjugué calcule la direction de la recherche en i -itération, la direction de gradient conjugué de u est déterminée par :

$$p^i(t) = -g^i(t) + \beta^i p^{i-1}(t) \quad (3.12)$$

tel que :

$$\beta^i = \frac{\int_{t_0}^{t_r} g^i(t) g^i(t) \partial t}{\int_{t_0}^{t_r} g^{i-1}(t) g^{i-1}(t) \partial t} \quad (3.13)$$

et

$$g^i(t) = \left. \frac{\partial H}{\partial u} \right|_i \quad (3.14)$$

à condition que $\int_{t_0}^{t_r} g^{i-1}(t) g^{i-1}(t) \partial t \neq 0$ et $\beta^0 = 0$, la direction de gradient conjugué de π est déterminée par :

$$q^i = -h^i + \gamma^i q^{i-1} \quad (3.15)$$

avec

$$\gamma^i = \frac{h^i h^i}{h^{i-1} h^{i-1}} \quad (3.16)$$

et

$$h^i = \left(\frac{\partial \varphi}{\partial \pi} \right)_{t=t_r} \Big|_i + \int_{t_0}^{t_r} \left. \frac{\partial H}{\partial \pi} \right|_i \partial t \quad (3.17)$$

à condition que $h^{i-1}h^{i-1} \neq 0$ et $\gamma^0 = 0$.

la nouvelle évaluation de $u(t)$ est alors

$$u^{i+1}(t) = u^i(t) + \alpha^i p^i(t) \quad (3.18)$$

et de π

$$\pi^{i+1} = \pi^i + \alpha^i q^i \quad (3.19)$$

tel que α^i est déterminé par la recherche unidimensionnelle afin de réduire au minimum :

$$J(u^{i+1}, \pi^{i+1}) = \min_{\alpha^i} J(u^i + \alpha^i p^i, \pi^i + \alpha^i q^i) \quad (3.20)$$

3.3 Traitement de contraintes

considérons le cas dans laquelle il y a une variable de contrôle $u(t)$ et un paramètre π qui satisfait la saturation de contrôle, les conditions d'optimalité nécessaires 3.8 et 3.9 sont remplacées par :

$$H(x^*, \lambda, u^*, \pi^*, t) = \min_{u \in U} H(x^*, \lambda, u^*, \pi^*, t) \quad (3.21)$$

$$\left[\left(\frac{\partial \varphi}{\partial \pi} \right)_{t=t_r} + \int_{t_0}^{t_r} \frac{\partial H}{\partial \pi} dt \right]^T \delta \pi \geq 0 \quad (3.22)$$

tel que x^*, u^*, π^* sont les solutions optimales, u appelé la région admissible de contrôle voir 3.3, $\delta \pi$ est n'importe quel changement faisable de paramètre.

$u^{i+1}(t)$ et π^{i+1} sont tronqués selon les limites supérieures et inférieures de la façon suivante :

$$\begin{aligned}
 u^{i+1}(t) &= \begin{cases} u^i(t) + \alpha^i p^i(t) & \text{si } a \leq u^{i+1}(t) \leq b \\ a & \text{si } u^{i+1}(t) < a \\ b & \text{si } u^{i+1}(t) > b \end{cases} \\
 \pi^{i+1} &= \begin{cases} \pi^i + \alpha^i q^i & \text{si } c \leq \pi^{i+1} \leq d \\ c & \text{si } \pi^{i+1} < c \\ d & \text{si } \pi^{i+1} > c \end{cases}
 \end{aligned} \tag{3.23}$$

3.4 Résumé de l'algorithme

étape 1 : poser $i = 0$ et choisissons les évaluations initiaux $u^0 \pi^0$.

étape 2 : résoudre les équations d'état 3.2 avec $u = u^i, \pi = \pi^i$ et les équations adjoint 3.6 , 3.7 puis calculer p^i et q^i en utilisant 3.12 ,3.15 .

étape 3 :

$$u^{i+1}(t) = u^i(t) + \alpha^i p^i(t)$$

et

$$\pi^{i+1} = \pi^i + \alpha^i q^i$$

choisir α^i pour minimise 3.20 .

étape 4 : répéter les étapes 2 et 3 jusqu'à

$$|J(u^{i+1}, \pi^{i+1}) - J(u^i, \pi^i)| < \delta |J(u^i, \pi^i)|$$

tel que δ est un nombre positif spécifique (ici $\delta = 10^{-4}$).

3.5 Exemples

Exemple 3.5.1 *minimiser le coût :*

$$J = \frac{1}{2} [x_1^2]_{1.5} + \frac{1}{2} \int_0^{1.5} u^2 dt$$

avec les contraintes différentiale $\dot{x}_1 = x_2$, $x_1(0) = \pi$

$$\dot{x}_2 = -x_1 + u + x_2(1 - x_1^2) \quad , x_2(0) = 1$$

pour obtenir l'état initial fixe comme dans 3.2 ,posons $y_1 = x_1 - \pi$, $y_2 = x_2$, nous obtenons le problème suivant :

$$J = \frac{1}{2} [(y_1 + \pi)^2]_{1.5} + \frac{1}{2} \int_0^{1.5} u^2 dt$$

$$\dot{y}_1 = y_2.$$

$$\dot{y}_2 = -(y_1 + \pi) + u + y_2 [1 - (y_1 + \pi)^2]$$

$$y_2(0) = 1.$$

les évaluation initiales ont été choisiès :

$u = 0$, $\pi = 0$. l'intervalle de l'intégration été divisé en 50 étapes . l'algorithme a convergé en 3 itération au $J = 0.30323$, $\pi = 1.0392$.

La solution convergée pour l'exemple est donné dans le tableau suivant :

par comparisation de ces resultats nous observons une convergence plus rapide de l'algorithme proposé pour la solution de ce type de problème.

avec controle et paramètre contraintes $u \geq -0.4$, $\pi \leq 1$ été atteient en 3 itérations au $J = 0.31655$, $\pi = 1$. la solution convergée pour cet exemple avec des contraintes est donnée dans le tableau suivent :

t	y_1	y_2	u
0.00	0.00000E - 01	1.00000E + 00	-6.26581E - 01
0.15	1.28989E - 01	7.12482E - 01	-6.10498E - 01
0.30	2.12591E - 01	4.01632E - 01	-5.81324E - 01
0.45	2.50107E - 01	1.02659E - 01	-5.39093E - 01
0.60	2.44980E - 01	-1.65173E - 01	-4.83889E - 01
0.75	2.02314E - 01	-3.98320E - 01	-4.16408E - 01
0.90	1.26911E - 01	-6.03270E - 01	-3.38439E - 01
1.05	2.22014E - 02	-7.91139E - 01	-2.53152E - 01
1.20	-1.10193E - 01	-9.74541E - 01	-1.64951E - 01
1.35	-2.70563E - 01	-1.16624E + 00	-7.89282E - 02
1.50	-4.61071E - 01	-1.37820E + 00	0.00000E + 00

TAB. 3.1 – Tableau 1

t	y_1	y_2	u
0.00	0.00000E + 00	1.00000E + 00	-4.00000E - 01
0.15	1.32744E - 01	7.61194E - 01	-4.00000E - 01
0.30	2.26583E - 01	4.86913E - 01	-4.00000E - 01
0.45	2.78648E - 01	2.08859E - 01	-4.00000E - 01
0.60	2.90137E - 01	-5.17519E - 02	-4.00000E - 01
0.75	2.64383E - 01	-2.87520E - 01	-4.00000E - 01
0.90	2.04958E - 01	-5.01941E - 01	-4.00000E - 01
1.05	1.14440E - 01	-7.02937E - 01	-3.46228E - 01
1.20	-5.43584E - 03	-8.94921E - 01	-2.62924E - 01
1.35	-1.54115E - 01	-1.08830E - 01	-1.38924E - 01
1.50	-3.32345E - 01	-1.29047E + 00	0.00000E + 00

TAB. 3.2 – Tableau 2

t	x	u
0.0	0.00000E + 00	8.29442E - 01
0.1	8.922603E - 02	8.06543E - 01
0.2	1.92482E - 01	7.79291E - 01
0.3	3.12204E - 01	7.46683E - 01
0.4	4.51148E - 01	7.07574E - 01
0.5	6.11884E - 01	6.60717E - 01
0.6	7.96141E - 01	6.05053E - 01
0.7	1.00365E - 00	5.40226E - 01
0.8	1.23073E - 00	4.67572E - 01
0.9	1.46941E - 00	3.91381E - 01
1	1.70911E - 00	3.19592E - 01

TAB. 3.3 – Tableau 3

Exemple 3.5.2 *minimisation du coût fonctionnel*

$$J = \int_0^1 (x + \pi)^2 u^2 dt - 2 \ln(x(1) + \pi)$$

avec

$$x = (\dot{x} + \pi)^2 + u^2, \quad x(0) = 0$$

et paramètre contraint $\pi \leq 1$.

Les évaluation initiales ont été choisies $u = 1, \pi = 0$ et l'intervalle de l'intégration a été divisé en 100 pas . L'algorithme a convergé en 6 itération avec $J = -1.0033$ et $\pi = 1$, la solution de l'exemple est donné dans le tableau 3 :

la resultat est dans concordance très bonne avec la solution analytique $J = -1, \pi = 1, x = e^t - 1$ et $u = e^{-t}$.

3.6 Application du gradient conjugué a la résolution d'un système linéaire : $Ax = b$

objectifs

On note $M_n(\mathbb{R})$ l'ensemble des matrices carrées d'ordre n . Soit $A \in M_n(\mathbb{R})$ une matrice inversible et $b \in \mathbb{R}^n$, on a comme objectif de résoudre le système linéaire $Ax = b$, c'est à dire de trouver $x \in \mathbb{R}^n$ solution de :

$$Ax = b \tag{3.24}$$

Comme A est inversible, il existe unique vecteur $x \in \mathbb{R}^n$ solution de 3.24.

,Nous utilisons la méthode du gradient conjugué pour calcul de ce vecteur x .

Exemple 3.6.1 *résolution d'un système linéaire $Ax = b$, dans ce exemple on multiplie une matrice $A \in M_n(\mathbb{R})$ par un vecteur $\hat{x} \in \mathbb{R}^n$ pour trouver un vecteur $b \in \mathbb{R}^n$ ensuite on construit un système linéaire $Ax = b$, l'objectif est de trouver x^* la solution de ce système avec la méthode du gradient conjugué ensuite comparé entre ce dernier et \hat{x} avec $n = 100$*

$$A = \begin{bmatrix} 0.81 & 0.16 & \dots & 0.94 \\ 0.90 & 0.79 & \dots & 0.66 \\ \vdots & \vdots & \vdots & \vdots \\ 0.33 & 0.79 & \dots & 0.46 \end{bmatrix}, b = \begin{bmatrix} 26.90 \\ 25.58 \\ \vdots \\ 24.36 \end{bmatrix}$$

pour résoudre ce système on applique le programme de résolution d'un système linéaire par la méthode du gradient conjugué [cgs] voir Annex.

on va donner la valeur de résidu $tol=0.000001$

\hat{x}	x^*
0.1538	0.1538
0.9618	0.9618
\vdots	\vdots
0.2088	0.2088

3.7 Application du gradient conjugué au traitement d'image

Définition 3.7.1 *La technique de traitement d'image concerne la manipulation et l'analyse d'image, elle est divisée en trois parties : restauration, numérisation et compression, description et reconnaissance de formes. Pour la restauration d'image bruitée nous utiliserons la méthode du gradient conjugué pour trouver itérativement l'image originale.*

Problème

supposons qu'on a une image originales filtrée, par une matrice A .

comment fait-ont pour trouver l'image originale ?

La solution de ce problème est basée sur la résolution d'un système $AX = B$ tel que :

- A : la matrice filtre (BR bruit)
- X : l'image originale à débruiter.
- B : l'image bruitée

l'objectif est de trouver la matrice $X = A^{-1}B$, mais le problème reside dans le calcul de l'inverse de A car elle est de grande taille. :

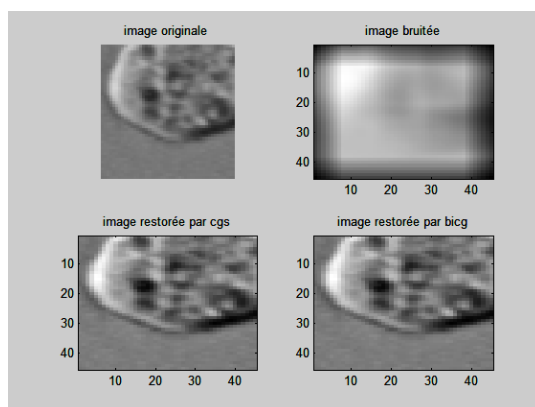
1. problème du calcul d'inverse
2. la méthode de gradient conjugué est appliquée sur des vecteurs $\min \|AX - B\|^2 = f(x) \iff \nabla f(x) = 0$. or X est une matrice

donc pour appliqué la méthode de gradient conjugué nous transformons l'équation matricielle $AX = B$ en une équation vectorielle $Ax = b$.

c'est à dire, transformer une image matricielle à une image vectorielle ($x = (X :)$)

pour redimensionner l'équation on utilise le produit de **Kronecker**.

Alors le problème est de trouver l'image vectorielle bruitée (voir Annex)



Conclusion

Ce travail nous a permis d'éclaircir l'utilité et l'importance des méthodes du gradient et particulièrement les méthodes du gradient conjuguées, nous avons montré que les méthodes utilisées sont toutes convergentes pour des critères simples à savoir par exemples les valeurs propres des matrices où la convexité des fonctions critères. Les applications sont nombreux, nous avons pris des exemples qui montrent la limite de chaque méthode, pour le traitement d'image, nous nous sommes limités à des images à faible pixels à cause des grands calculs que notre micro ne supporte pas.

Comme conclusion, la méthode du gradient conjugué est l'une des bases des méthodes de calcul numérique en traitement d'images, d'autres méthodes sont plus performantes que celles exposées ici.

Bibliographie

- [1] Danial kouth , (2009). Optimisation numérique (chapitr 5).University de Friboug.
- [2] Edwing . P. Chong, Stanislaw.H .ŽAK. An Introduction to optimization , Second Édition. copy right (2001).
- [3] Jorge Nocedal, stephen.J. Numerical Optimization . Editors : Peter Glynn, Stephn M.Robinson
- [4] Mohammed Belloufi,(2013/2014).Développement récents de la méthode du gradient conjugué.Thèse doctorat en MathématiquesUniversité Badji Mokhtar Annaba
- [5] Laghbeche Hadjer, Lahreche Messaouda, (2008).Optimisation sans contrainte, Mémoire de fin d'études pour l'obtention du diplôme de license Université M.K Biskra

Annexe A : Logiciel *R*

```
function x = conjgrad(A,b,tol)
% CONJGRAD Conjugate Gradient Method.
% X = CONJGRAD(A,B) attempts to solve the system of linear equations A*X=B
% for X. The N-by-N coefficient matrix A must be symmetric and the right
% hand side column vector B must have length N.
%
% X = CONJGRAD(A,B,TOL) specifies the tolerance of the method. The
% default is 1e-10.%
% By Yi Cao at Cranfield University, 18 December 2008
% Updated on 6 Feb 2014.
%
if nargin<3tol=1e-10;
end
x = b;
r = b - A*x;
if norm(r) < tol
return
end
y = -r;
z = A*y;
```

```
s = y'*z;  
t = (r'*y)/s;  
x = x + t*y;  
for k = 1 : numel(b);  
r = r - t*z;  
if( norm(r) < tol )  
return;  
end  
B = (r'*z)/s;  
y = -r + B*y;  
z = A*y;  
s = y'*z;  
t = (r'*y)/s;  
x = x + t*y;  
end  
end  
command :  
% Example (highlight lines between %{ and %}, then press F9) :  
%{  
n = 60;  
m = 80;  
A = randn(n,m);  
A = A * A';  
b = randn(n,1);  
x = conjgrad(A,b);  
norm(A*x-b);  
%}
```

```
C = rand(4,4);image(C,'CDataMapping','scaled')  
axis image
```

Annexe B : Abréviations et Notations